

## 地震時における間隙水圧の上昇を考慮した盛土の信頼性解析

金沢大学大学院

学生員〇日比野友亮

金沢大学工学部

正会員 北浦 勝, 同 池木敏和

1.はじめに

地震時における盛土の安定解析についての検討が広く行われているものの、砂質地盤内の過剰間隙水圧上昇をも考慮した例は少ない。本研究では地震時における盛土の安定解析に砂質地盤内の過剰間隙水圧蓄積および消散過程を取り入れた信頼性手法を用い、盛土の耐震安全性に関する検討を行う。また過剰間隙水圧上昇を考慮した場合としない場合の盛土の安定解析の結果とを比較し、過剰間隙水圧上昇が盛土の破壊確率に及ぼす影響を検討する。盛土に作用させる地震加速度の評価に当たっては、応答スペクトル法の概念を利用して、エネルギー的に等価な応答加速度を算出するという、新たな方法を用いている。

2. 盛土の安定解析モデル

図-1に盛土の安定解析モデルの概略を示す。解析に用いた盛土モデルにおける諸数値は同図に示すごとくである。本研究では盛土の安定解析に簡便分割法による円弧すべり法を用いた。従って盛土の安全率 $F_s$ は次式のように表される。

$$F_s = \frac{\Sigma [c \cdot l + \{(1-K_v) \cdot W \cdot \cos \alpha - K_h \cdot W \cdot \sin \alpha - U \cdot l\} \cdot \tan \phi]}{\Sigma \{[(1-K_v) \cdot W \cdot \sin \alpha + K_h \cdot W \cdot \cos \alpha]\}} \quad (1)$$

ここで、 $c$  は粘着力、 $l$  はすべり面の長さ、 $W$  は重量、 $K_h$ 、 $K_v$  はそれぞれ水平震度、鉛直震度、 $U$  は間隙水圧の上昇による力、 $\phi$  は摩擦角、 $\alpha$  はすべり角である。 $K_h$  および $K_v$  は次のように求まる。すなわち、応答スペクトル法を用いて求まる最大応答速度 $S_v$  と最大応答変位 $S_D$  から盛土の運動エネルギーと位置エネルギーとを次式のように等しいと置き、エネルギー的に等価な応答加速度 $A$  を算出する。

$$M \cdot A \cdot S_D(T, h) = \frac{1}{2} M \cdot S_v^2(T, h) \quad (2)$$

ここで、 $M$  は盛土の質量、 $A$  はエネルギー的に等価な応答加速度、 $T$  および $h$  はそれぞれ盛土の固有周期、減衰定数を表す。 $A$  を地表面における最大加速度 $A_g$  で基準化した値 $\alpha_A$  の結果を図-2に示す。図中の $\alpha_A$  は15地震記録の結果を平均化したものであり、 $T$  および $h$  ごとに求められる。従って、ここではこの $\alpha_A$  に地表面における最大加速度 $A_g$  を乗じ、さらに重力加速度 $g$  で除して $K_h$  を求める。また $K_v$  には別途の検討により $K_h$  に0.6を乗じた値を用いる。

過剰間隙水圧の蓄積過程として Martin, Finn, Seed のモ

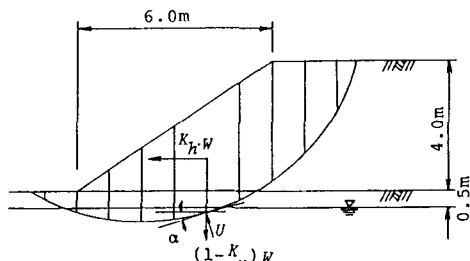
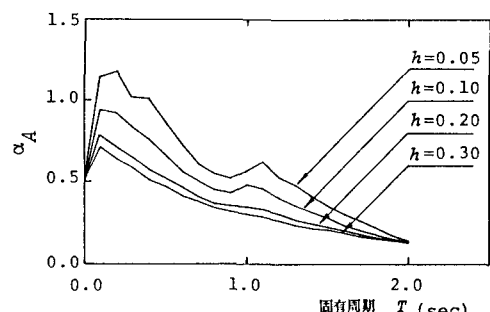


図-1 盛土の安定解析の概略

図-2  $\alpha_A$  のスペクトル

<sup>1)</sup>  
テル用い、地下水位面下にあるすべり面にのみ過剰間隙水圧の上昇を考慮する。過剰間隙水圧の消散過程では式(3)の鉛直1次元のみを考慮した透水方程式を用いる。

$$\frac{\partial u}{\partial t} = B \cdot \frac{\partial^2 u}{\partial z^2} \quad \text{--- (3)}$$

ここで、 $u$  は間隙水圧、 $B$  は係数、 $t$  および $z$  はそれぞれ時間と距離のパラメタである。係数 $B$  は飽和領域の場合、 $B = k_z^*/(m_v \cdot \gamma_w)$ 、不飽和領域の場合、 $B = k_z^*/C$  で表される。 $k_z^*$  および $k_z^*$  はそれぞれの領域における透水係数、 $m_v$  は土の体積圧縮係数、 $\gamma_w$  は水の単位体積重量、 $C$  は比水分容量である。

ただし盛土の安定解析において間隙水圧の上昇による力 $U$  を求める場合は、式(3)を差分化して用いている。信頼性解析の手法、Point Estimate Method についての詳細は文献2)に譲る。本解析では2点推定法を用い、粘着力 $c$  および摩擦角 $\phi$  のばらつきのみを考慮した。 $c$  および $\phi$  の変動係数はそれぞれ0.27, 0.19に、また $c$  および $\phi$  の標本平均の変動係数は0.1と仮定した。表-1に盛土の安定解析に用いた諸数値を示す。

### 3. 結果と考察

図-3に地表面における最大加速度 $A_g$  を横軸に取り、過剰間隙水圧の上昇を考慮した場合と考慮しない場合の盛土の破壊確率 $P_f$  を示す。図-4に盛土の法尻部下における間隙水圧比 $u/\sigma'$  (間隙水圧を初期有効応力で除した値) の変化も同様に示す。図-3における一点鎖線はそれぞれの破壊確率の標準偏差である。同図から $A_g$  が大きくなるにつれ、過剰間隙水圧上昇を考慮した場合の $P_f$  と考慮しない場合の $P_f$  に開きが生じ、例えば $A_g = 500$  gal の場合には両者の $P_f$  に0.2程度の差が生じていることがわかる。ちなみに過剰間隙水圧上昇を考慮した場合、 $A_g$  が450 gal 程度になると安全率 $P_g$  が1 (破壊確率は0.5程度) を下回り、考慮しない場合、 $A_g$  が550 gal になっても $P_g$  は1以上であった。このことはやはり間隙水圧を考慮することによって小さな加速度でも盛土の破壊が発生することを示唆するものである。図-3において過剰間隙水圧上昇を考慮した場合、 $A_g = 450$  gal を越えると破壊確率の上昇率が低下している。図-4からわかるように、

これは $A_g = 450$  galにおいて既に地盤が液状化に近い状態にあることが影響し、 $P_f$  の上昇が若干ゆるまつたものであると考えられる(本解析においては円弧すべり法を用いているため、地盤が液状化しても盛土に抵抗力があるので $P_f = 1.0$  とはならない)。以上みたように、過剰間隙水圧上昇を考慮した場合の盛土の破壊確率は考慮しない場合のそれと比較して決して無視しえない値であることがわかった。今後は土質パラメタを変化させて同様な検討を行う予定である。

参考文献 1) 北浦 勝、官島昌克、鈴木広士: 不飽和領域への間隙水浸透を考慮した液状化時の地中埋設管の応答解析、第18回地震工学研究発表会講演概要、pp.229~232、1985. 2) Rosenblueth,E.: Point Estimates for Probability Moments, Proceedings of the National Academy of Science, Vol.72, No.10, 1975.

表-1 解析に用いた諸数値

	地下水位内	地盤内	盛土内
$c$ (tf/ft <sup>2</sup> )	0.537	1.341	2.090
$\phi$ (°)	25	25	25
$\gamma_t$ (tf/ft <sup>3</sup> )	2.230	2.150	1.980
$T$ (sec)			0.16
$n$			0.20

$\gamma_t$ : 土の湿潤単位体積重量、 $T$ 、 $n$ : 盛土の固有周期、減衰定数

$k_z$ (cm/sec)	0.0204	$m_v$ (cal/kgf)	0.1000
$k_z^*$ (cm/sec)	0.0144	$\gamma_w$ (kgf/cal)	0.0010

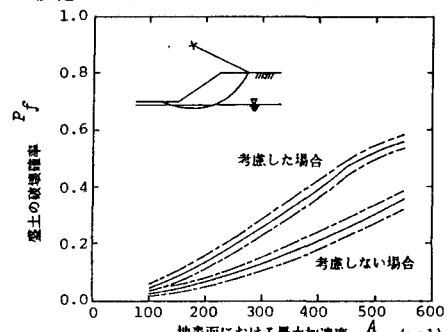


図-3 過剰間隙水圧上昇を考慮した場合の結果と考慮しない場合の結果との関係。

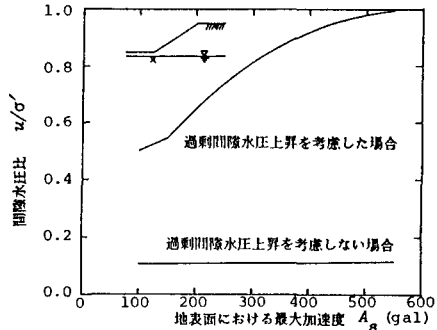


図-4 盛土法尻部下(×の位置)における間隙水圧比